

盛土荷重による非排水強度の遷移過程について

京都大学工学部 正員 黒田勝彦

" " 学生員 浅岡 順

大成建設 K.K. 正員 貝原秀樹

1 はじめに

地盤内での粘土の非排水強度(C_u , ランダム変数)の確率分布関数が技術者にとって既知であるときでも、ばらつきを支配する他の要因によれば、盛土の破壊は確率事象になることがある。さらに、一般に有限個の地盤調査では技術者は上記確率分布関数を完全には知りえないから、盛土の破壊は技術者にとって常に確率事象である。そして、この破壊の確率は、地盤内での C_u のばらつきの状態と調査規模、盛土高さによって決定される。さて、大規模な盛土を段階的に施工するときは、前段階の荷重による圧密で地盤の強度は上昇しているが、同時にばらつき方の状態も変化していると考えられる。したがって各段階でのもっとも合理的な破壊確率で施工を行なってゆく上で、盛土荷重による C_u のばらつき方の遷移過程を法則的に知ることが重要である。

2 C_u のばらつき方の遷移過程

正規状態にある均質な粘土試料については、室内実験および理論的な考察から、 C_u と圧密降伏荷重 p_0 、 σ_m の比 C_u/p_0 、 C_u/σ_m はその試料に固有の定数になることが知られている。²⁾ 地盤内では C_u 、 p_0 はランダム変数であるが、上記のこととは、 p_0 のばらつき方の圧密とともに遷移を知れば C_u のばらつき方の遷移を知ることができるることを意味している。さて、一次元圧密変形を受けた地盤では地盤内での鉛直圧力を p とすると(1)となりたところが予測され³⁾いる。

$$(1) \left\{ (m_c)_m + \left\{ (\log p/p_0)_m / \log(p_m/(p_0)_m) \right\} + \{ \text{Cov}(m_c, \log p) - \text{Cov}(m_c, \log p_0) \} / \log(p_m/(p_0)_m) \right\} : \text{絶対} \\ \left\{ \text{Cov}(m_c, p) - \text{Cov}(m_c, p_0) \right\} / \{ (p)_m - (p_0)_m \} : p_0 \text{に依存しない絶対定数} \quad \text{定数} \\ \text{ここで } m_c = C_u / \sigma_m, ()_m \text{は母平均を}, \text{Cov}(, ,) \text{は共分散を表わす}.$$

いまこの地盤で、深さ z における $\alpha(z) = (p)_m / (p_0)_m |_z$ なる $\alpha(2)$ をとれば同一深さにおけるランダム変数の組 (p, p_0) につれて

(2) $p = \alpha p_0 |_z$ が成立すると考えると、条件(1)は満足される。さらにこのとき(2)は $(m_c)_m$ にからんで $\text{Cov}(m_c, p_0)/p_0$ が無視しきるオーダにあることを要求するが、多くのデータによると、このことは確かめられている。

p のばらつき方に關する仮説式(2)に従えば、圧密前後の地盤内の非排水強度を C_u^1 、 C_u^2 とするとき $C_u^2/C_u^1 |_z = p/p_0 |_z = \alpha(2)$ となり、 C_u^2 のばらつき方は、 C_u^1 のそれと、 $\alpha(2)$ とに一義的に依存する。すなはち

$$(3) (C_u^2)_m = \alpha(2) \times (C_u^1)_m, \quad V[C_u^2] = \alpha(2)^2 \times V[C_u^1]$$

ここで $V[]$ は分散を表わす。式(3)は圧密によつて地盤内の C_u のばらつき方におり、各深さごとに変動係数を一定にしたもじつ遷移してゆくことを示している。

3 実測データからの考察 正規圧密地盤では、 C_u は深度方向に変動係数を一定に保つ分布じきいことをいふのが実測例によつて確認されている。⁴⁾ さて図1(a~d)は正規圧密された海成粘土地盤での C_u のばらつきの遷移を示す実測データである。このデ

一から式(3)の内容を3種類の方法で検討した。i) 図2(a~d)は $(C_u^2)_m/(C_u^2)_n = d(z)$ と $\{\bar{V}(C_u^2)/\bar{V}(C_u^2)\}^{1/2} = d'(z)$ とを比較したものである。サンドドレンの打設による乱れを差し引くならば(3)式の内容はよく示されてゐると言えられる。ii) 図3(a~b)は縦軸に $C_u^2/(C_u^2)_m$ の値を、横軸に深さ Z をとってプロットしたものである。この回帰曲線は理論的には $d(z) = 1 + \frac{g}{P_0(z)}$ (g は荷重)となるはずである。図中で実線は $P_0(z) = \mu z$ として $d(z)$ を描いたもの、破線はデータの最良多項式近似による曲線である。より一致を示す。iii) 図4(a~c)は各深さで C_u が正規分布 $N(\mu(z), \sigma^2(z))$ であると仮定した上での地盤全体にわたる C_u の理論分布と実測データを比較したものである。遷移過程は、ドレンによる乱され以前の原地盤を標準に計算されることが多い。厳密な考察は講演時にゆづりたい。全般に実測データは変動係数が一定か、少し大きくなりつつ遷移していくことを示す。

4まとめ 一般に盛土の破壊による損失は盛土高さの増加倍数であるために変動係数を一定にして C_u のばらつきが遷移しても、設計安全率は段階施工では徐々に上げられるべきである。2, 3の内容を基礎にした、地盤状態の遷移確率の計算、ならびにこれにモーティ、段階施工計画の動的適応過程（統計的多段階決定過程）としこの考察は他の機会にゆづりたい。

(参考文献)

- 1) 黒田、浅岡、鈴木「不均質地盤の確率論的取扱い」本稿叢集
- 2) Lumb, P: The Variability of Natural Clay, Canadian Geotech. J.
- 3) 松尾、浅岡「地盤の全沈下に関する統計的考察」他
- 4) D. J. Henkel 「Geotechnique」, Vol. 9 No. 3 他

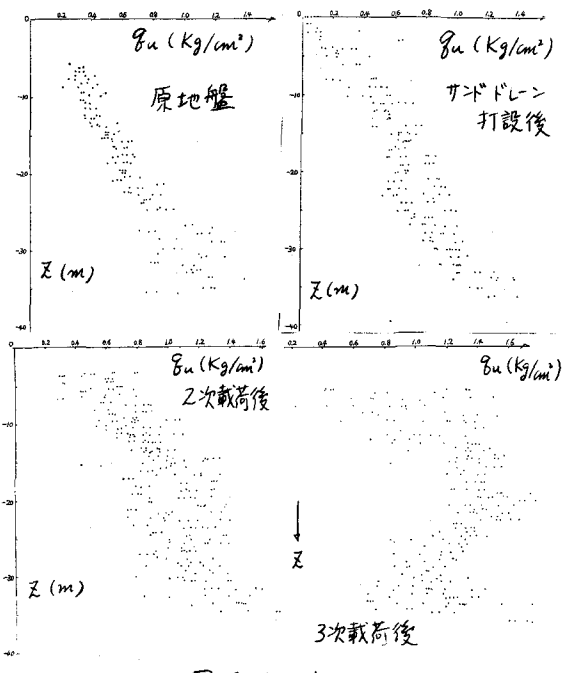


図2 a~d

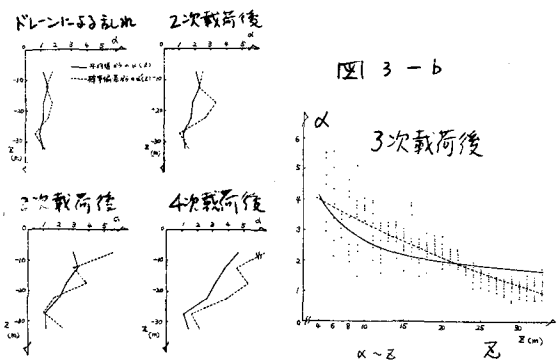


図3 - b

図2 a~d

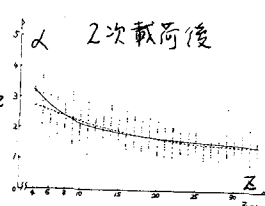


図4 - a

不足の図面は講演時に紹介工政局を予定する。